

FIG. 31.

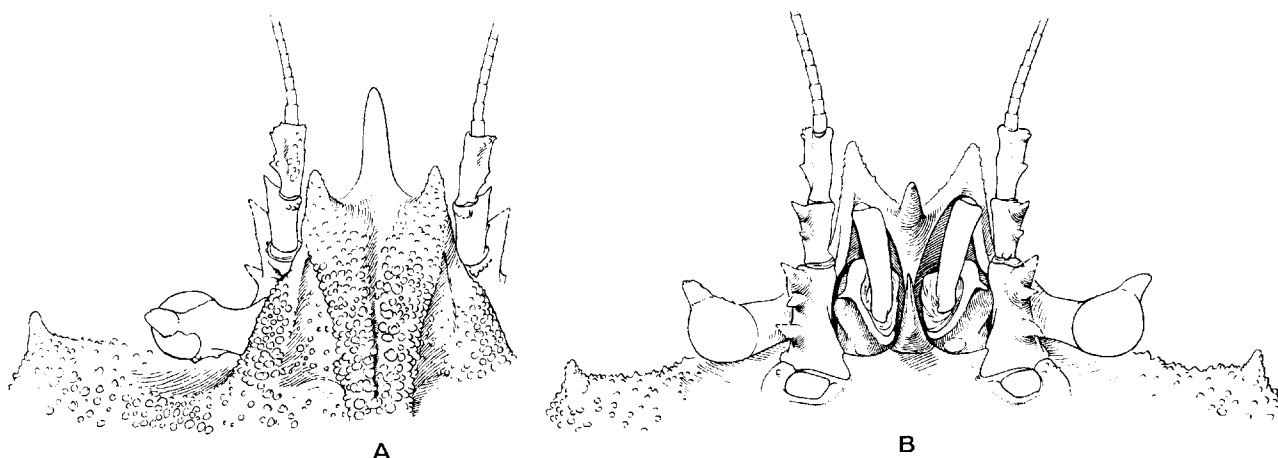


FIG. 32. — *Cyrtomaia granulosa* Guinot et Richer de Forges, 1982, holotype, ♀ ovigère 50 × 56 mm, côte NW de Madagascar, 420-428 m, Crosnier coll. (MP-B7209) : A, région frontale, vue dorsale; B, région frontale, vue ventrale (× 3,4) (Ornementation non représentée).

FIG. 32. — *Cyrtomaia granulosa* Guinot and Richer de Forges, 1982, holotype, ovigerous ♀ 50 × 56 mm, NW coast of Madagascar, 420-428 m, Crosnier coll. (MP-B7209) : A, frontal region, dorsal view; B, frontal region, ventral view (× 3,4) (Ornamentation not shown).

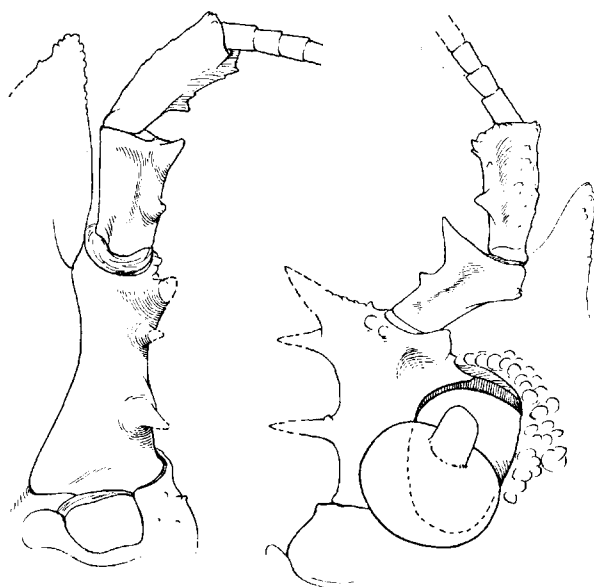


FIG. 33. — *Cyrtomaia granulosa* Guinot et Richer de Forges, 1982, même spécimen que précédemment : détail de l'antenne sous deux angles différents (× 7) (Ornementation non représentée).

FIG. 33. — *Cyrtomaia granulosa* Guinot and Richer de Forges, 1982, same specimen as before : antenna, two different aspects (× 7) (Ornamentation not shown).

La région frontale est très courte : les épines pseudo-rostrales (fig. 32 A) sont réduites, beaucoup plus courtes que le rostre; le rostre est pointu. Le pédoncule oculaire

est relativement court et trapu; il porte une corne unique, très saillante. L'article basal antennaire (fig. 32 B, 33) est armé de trois épines : deux antérieures groupées et une postérieure isolée. Les articles 4 et 5 sont un peu élargis et spinuleux. Les fouets sont plutôt longs. Les chélicèdes, longs et forts (spécimens connus seulement de sexe femelle), sont spinuleux et couverts de gros granules très denses; de même, p2 et p3 sont spinuleuses et granuleuses; p3 et p4 ont tous leurs articles finement granuleux.

La seule espèce qui peut être comparée à *C. granulosa* est *C. smithi* Rathbun (cf. supra, fig. 4, 29 A-B, 30 A-B), espèce très proche par la taille, par la réduction des épines de la face dorsale, par les pédoncules oculaires courts et trapus, par la forme générale du front.

Mais *C. granulosa* diffère de *C. smithi* par l'absence d'épine orbitaire intercalaire, par la très forte granulation présente sur tout le corps, par l'existence d'une crête en avant de l'épine protogastrique, par l'ornementation de l'article basal antennaire (trois épines chez *C. granulosa*, quatre chez *C. smithi*), par les p4 et p5 granuleuses (lisses à l'œil nu chez *C. smithi*). Pour les différences par rapport avec *C. ihlei* Guinot et Richer de Forges, cf. infra, fig. 2 A, 2 B, 3, 35 A-D, 36 A-B, 37.

DISTRIBUTION GÉOGRAPHIQUE. --- Madagascar.

Cyrtomaia intermedia Sakai, 1938.

(fig. 34)

Cyrtomaia intermedia Sakai, 1938 : 241, fig. 21, pl. 35, fig. 3 : loc. inconnue ; 1940, p. 55 (cit.) : SERÈNE et LOHAVANIJAYA, 1973 : 45, 46 (clef).

Cyrtomaia intermedia, SAKAI 1976 : 178 (clef), 179, fig. 95 (cit.).

REMARQUES. — *Cyrtomaia intermedia* a été décrite par SAKAI (1938 : 241, fig. 21, pl. 35, fig. 3) pour un unique spécimen du Japon, de localité inconnue, et n'a jamais été retrouvée depuis (cf. SAKAI, 1976 : 179,

notamment par l'ornementation granuleuse et par le nombre d'épines de la face dorsale ; mais cette dernière se distinguerait par l'orientation différente des épines protogastriques et par l'absence d'épines branchiales, lesquelles sont longues et aiguës chez *C. intermedia*.

Cyrtomaia intermedia Sakai fait partie du groupe de *Cyrtomaia* à grandes épines pseudorostrales, comprenant par exemple *C. horrida* Rathbun (cf. supra, fig. 19) et *C. echinata* Rathbun (cf. supra, fig. 26 A-B). *C. intermedia* se rapproche, dès le premier coup d'œil, de l'une et l'autre espèce par la grande taille de ses épines protogastriques (Les



FIG. 34. — *Cyrtomaia intermedia* Sakai, 1938, holotype, ♂ 32 × 35,5 mm, patrie inconnue : animal en entier. (D'après T. SAKAI, 1938 : 241, pl. 35, fig. 3.)

FIG. 34. — *Cyrtomaia intermedia* Sakai, 1938, holotype, ♂ 32 × 35,5 mm, locality unknown : entire animal. (After T. SAKAI, 1938 : 241, pl. 35, fig. 3.)

fig. 95). Dans la clef de SAKAI (*ibid.* : 178), cette espèce figure aux côtés de *C. owstoni* Terazaki, 1903 ; dans la clef de SERÈNE et LOHAVANIJAYA (1973 : 45-46), *C. intermedia* se trouve près de *C. murrayi* Miers, 1886.

SAKAI (*loc. cit.*) compare *C. intermedia* :

1) à *C. goodridgei* McARDLE, 1900 (cf. supra, fig. 18), qui se distingue immédiatement par l'absence d'épine orbitaire intercalaire ;

2) à *C. bicornis* Ihle et Ihle-Landenberg, 1931 (cf. supra, fig. 27 A-C, 28 A-B), espèce assez proche,

épines protogastriques sont cassées sur la figure de l'holotype que nous représentons fig. 34 ; cf. SAKAI, 1938 : 241). *Cyrtomaia intermedia* entre dans le groupe des *Cyrtomaia* à carapace granuleuse, comme *C. tenuipedunculata* Ihle et Ihle-Landenberg (cf. fig. 21 A-F, 22 A-B, 23 D), *C. ihlei* Guinot et Richer de Forges (cf. infra, fig. 2 A, 2 B, 35 A-D, 36 A-B, 37) et *C. granulosa* Guinot et Richer de Forges (cf. supra, fig. 31 A-D, 32 A-B).

DISTRIBUTION GÉOGRAPHIQUE. — Japon.

Cyrtomaia ihlei¹

Guinot et Richer de Forges, 1982.

(fig. 2 A, 2 B, 3, 35 A-D, 36 A-B, 37)

Cyrtomaia ihlei Guinot et Richer de Forges, 1982 :
1091, fig. 2 A-D, 5 D-E, pl. 2, fig. 2, 2 a : Samoa,
Nouvelles-Hébrides, Tahiti.

MATÉRIEL EXAMINÉ. — Holotype, ♂ 34 × 38 mm,
îles Samoa occidentales, Apolima Strait, 12 miles au
sud d'Apolima, casier, 700 m, INTÈS coll., 17 novem-
bre 1977 (MP-B7206).

Paratype, ♀ 32 × 35 mm, Nouvelles-Hébrides,
Torrès, Loh, casier, 900 m, INTÈS coll., 14 octo-
bre 1977 (MP-B7207).

♀ 36 × 39 mm, Tahiti, casier, 480 m, RICHER
DE FORGES coll., récoltes à bord du « Tainui »,
octobre 1978 (MP-B7208).

REMARQUES. — Nous avons récemment décrit cette
espèce en nous fondant sur le matériel examiné
ci-dessus, qui comporte l'holotype des îles Samoa
et le paratype des Nouvelles-Hébrides, ainsi qu'un
échantillon de Tahiti.

Cyrtomaia ihlei (fig. 35 A-D) se caractérise par sa
taille moyenne, par ses épines dorsales à peu près toutes
de même longueur et moyennement développées. On dis-
tingue : une paire d'épines protogastriques, une épine
gastrique impaire, une paire d'épines cardiaques, toutes
ces épines étant subégales; il y a en outre une épine

1. En hommage à J. E. W. IHLE, auteur de plusieurs
monographies sur les Crabes récoltés par le *Siboga* et d'un
article (en collaboration avec M. E. IHLE-LANDENBERG) où
sont décrites plusieurs *Cyrtomaia* presque tombées dans
l'oubli et que nous réhabilitons.

branchiale assez aiguë, un peu plus développée que les
autres (tout au moins chez le paratype et le spécimen de
Tahiti). Une petite épine intestinale est présente. L'épine
postoculaire est pointue. L'épine orbitaire intercalaire
(fig. 36 A) est courte, triangulaire, couverte de granules.

La face dorsale est sillonnée; les différentes aires sont
relativement bien délimitées. Tout le test est couvert de
granules de taille irrégulière, très abondants, devenant
spinuleux par endroits. Il y a notamment, en avant de
l'épine protogastrique impaire, une zone surélevée granu-
leuse où se distinguent 2-3 tubercules; entre l'épine
protogastrique et l'épine orbitaire intercalaire se trouve
une ligne de gros granules, dont certains sont spiniformes.
La région frontale est courte, avec deux épines pseudo-
rostrales réduites, plus courtes que le rostre (fig. 36 A);
le rostre est triangulaire. Le pédoncule oculaire est plutôt
grêle et assez long (il dépasse la dent orbitaire inter-
calaire); il porte une seule corne. L'article basal anten-
naire (fig. 36 B) est armé de quatre épines acérées et de
petites spinules. Les articles 4 et 5 (fig. 37) sont élargis,
lobés, rugueux, avec des denticulations. Les fouets anten-
naires sont longs. Les chélicèdes sont spinuleux et gra-
nuleux, avec une main élargie distalement chez le mâle.
Les p4 et p5 sont granuleuses, surtout sur le bord supé-
rieur du mérus. Pour le plastron sternal chez le mâle,
voir fig. 2 A; pour la localisation coxale de l'orifice génital
mâle, voir fig. 2 B; pour le plastron sternal chez la femelle
et la forme des vulves, voir fig. 3. Pour le pl 1 ♂ et le pl 2 ♂,
voir fig. 17 D-E.

Cyrtomaia ihlei (fig. 35 A-D) présente des affinités
avec *C. smithi* Rathbun (cf. *supra*, fig. 4, 29 A-B,
30 A-B), surtout avec la forme jeune de cette espèce,
en raison de la présence d'épines subégales sur la
face dorsale (néanmoins relativement plus longues
chez *C. ihlei*); de la forme du front, avec des épines
pseudorostrales très courtes et un rostre triangu-
laire; et, aussi, en raison de l'article basal anten-
naire, armé de trois épines. Mais *C. ihlei* diffère de
C. smithi par : la granulation, beaucoup plus forte
sur la carapace (chez la forme âgée de *C. smithi*,
la granulation est très fine); les pédoncules ocu-

FIG. 35. — *Cyrtomaia ihlei* Guinot et Richer de Forges, 1982 : trois individus différents.

- A, holotype, ♂ 34 × 38 mm, îles Samoa occidentales, Apolima Strait, 12 miles au sud d'Apolima, casier, 700 m, INTÈS coll. (MP-B7206) : vue d'ensemble.
B, D, paratype, ♀ 32 × 35 mm, Nouvelles-Hébrides, Torrès, Loh, casier, 900 m, INTÈS coll. (MP-B7207) : B, vue d'ensemble; D, gros plan du céphalothorax.
C, ♀ 36 × 39 mm, Tahiti, casier, récoltes à bord du « Tainui » (MP-B7208) : gros plan du céphalothorax.

FIG. 35. — *Cyrtomaia ihlei* Guinot and Richer de Forges, 1982 : three different specimens.

- A, holotype, ♂ 34 × 38 mm, western Samoa Islands, Apolima Strait, 12 miles S of Apolima, bait-net, 700 m, INTÈS coll. (MP-B7206) : entire animal.
B, D, paratype, ♀ 32 × 35 mm, New Hebrides, Torres, Loh, bait-net, 900 m, INTÈS coll. (MP-B7207) : B, entire animal; D, cephalothorax.
C, ♀ 36 × 39 mm, Tahiti, bait-net, 480 m, « Tainui » coll. (MP-B7208) : cephalothorax.